

영상-모드 및 Galerkin법을 이용한 전송선 문제해석

An Analysis of Transmission Line Structure by Combining Image-Mode and Galerkin Methods

申 奎 鉉* · 鄭 炫 教** · 韓 松 塵***
(Guo-Hyun Shin · Hyun-Kyo Jung · Song-Yop Hahn)

Abstract - This paper presents a hybrid image-mode-Galerkin method for the analysis of the transmission line structures suspended between infinite parallel ground planes. A Green's function that consists of numerically accelerated image-mode terms is developed, which is used in boundary integral equation. Transmission lines of arbitrary cross-section are analyzed using Galerkin's method. Two kinds of configurations of transmission lines are studied in sample problems.

1. 서 론

접지된 평행판 사이의 유전체내에 임의의 모양을 갖는 도체 전송선이 존재하는 구조는 유도기(Coupler)나 필터 설계에 중요한 구조이다. 이러한 구조에 대해서는 준-TEM(Quasi-Transverse Electromagnetic) 문제로 근사화시킬 수 있고, 따라서 횡단면에 대해서는 2차원 시불변 계(Static Field)방정식이 지배방정식이 된다. 이때 문제해석에는 경계적분방정식을 이용하는 수치해석법을 적용시킬 수 있다. 경계적분방정식에는 그린함수를 사용하게 되는데 두개의 무한 평판 도체내에서 수치해석상 효율적인 그린함수를 찾는 것이 쉽지 않다. 일반적으로 평행 도체판들로 구성된 구조와 같은 층구조(Layered)의 그린함수를 표현하는 방법으로서 세 가지 방법이 이용되었다. 즉 영상법

[1], 스펙트럴적분법[2], 및 모드법[3] 등이다. 여기서 영상법은 전원과 관측점간의 거리가 가까운 경우에만 적응이 용이하다. 스펙트럴 적분법은 모든 영상들을 조합하여 표현된 감쇠 스펙트라의 중첩에 의해서 그린함수를 표현하므로 영상들의 금증문제를 피할 수 있다. 그러나 주된 영향을 미치는 영상들을 분리 시킬 수가 없다. 모드법은 전원과 관측점간의 거리가 멀리 떨어져 있을 때는 지배적인 모드를 막으로써 그린함수를 표현할 수 있다는 장점을 갖고 있다. 그러나 전원과 관측점간의 거리가 가까울 때는 많은 고차의 모드들까지도 고려해야 하는 어려움이 있다. 따라서 각 방법들의 장점만을 이용하게 되는 여러 방법을 혼합한 알고리즘들이 세시되었다[4~6].

본 논문에서는 경계적분방정식에 이용되는 그린함수를 영상-모드의 혼합법을 사용하여 표현하였다. 즉 전원과 관측점간의 거리가 멀 때는 지배적인 모드를 막으로 그린함수를 표현하고 거리가 가까울 때는 몇 개의 지배적인 영상항들로써 그린함수를 표현하게 된다. 그리고 경계적분방정식은 도체의 표면을 소영역으로 이산화하고 소영역내에서

*正會員：江原大 大學院 電氣工學科 碩士課程
**正會員：江原大 工大 電氣工學科 副教授·工博
***正會員： 서울大 工大 電氣工學科 教授·工博
接受日字：1991年 6月 25日
1次修正：1991年 11月 30日

변수를 근사화 시킨 후 Galerkin법을 적용시켜 풀었다.

2. 적분방정식

그림1과 같이 2차원 문제로 모델링한 접지된 평행 도체판 사이에 존재하는 도체들 중 i 번째 도체의 전체 전하량 Q_i 를 표면전하밀도함수 σ_i 로 표현하면

$$Q_i = \int_{S_i} \sigma_i(\underline{r}') d\underline{s}_i, \quad \underline{r}' = (x', z'), \quad \underline{r}' \in S_i \quad (1)$$

가 된다. 여기서 S_i 는 i 번째 도체의 표면이고 \underline{r}' 은 표면 위의 위치 벡터이다. 그리고 평행판 내의 임의의 한점 $\underline{r} = (x, z)$ 에서의 전위 $V(\underline{r})$ 는

$$V(\underline{r}) = \sum_{i=1}^N \int_{S_i} \frac{\sigma_i(\underline{r}')}{\epsilon} G(\underline{r}, \underline{r}') d\underline{s}_i, \quad \underline{r}' \in S_i \quad (2)$$

와 같이 도체 표면에 대한 면적 적분들의 합으로 써 주어진다[7]. 여기서 $G(\underline{r}, \underline{r}')$ 은 평행판 내에서의 그린함수, ϵ 은 매질의 유전율이고 N 은 전체도체의 갯수를 나타낸다. 식(2)는 적분방정식으로서 σ_i 는 실제 계산에서 구할려고 하는 미지변수가 되고 S_i 는 2차원 문제이기 때문에 도체의 경계를 따라가는 적분경로이다. 그리고 식(2)를 도체표면 위에서 표현하면 N 개의 도체에 대해 다음과 같이 N 개의 연립방정식을 얻게 된다. 즉,

$$V_i(\underline{r}) = \sum_{i=1}^N \int_{S_i} \frac{\sigma_i(\underline{r}')}{\epsilon} G(\underline{r} - \underline{r}') d\underline{s}_i, \quad \underline{r}' \in S_i, \quad \underline{r} \in S_i \\ i = 1, 2, \dots, N \quad (3)$$

여기서 $V_i(\underline{r})$ 은 i 번째 도체의 전위이다.

결과적으로 식(3)을 풀면 모든 도체 표면에서의 전하분포를 구할 수 있고 따라서 각 도체의 전체 전하량은 식(1)로 부터 구하게 된다. 이때 그린함

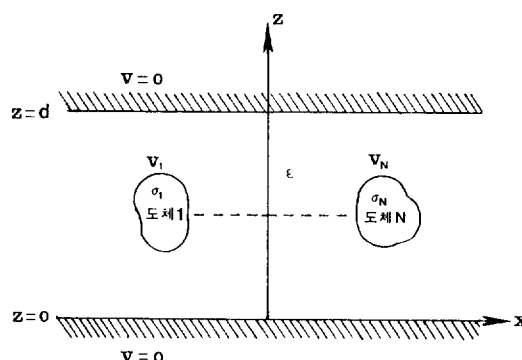


그림 1 차폐된 전송선 구조

Fig. 1 Shielded transmission line structure

수는 영상-모드의 혼합법을 사용하여 구하고 적분 방정식을 풀기 위해서 Galerkin법을 적용시킨다.

3. Galerkin법 적용

식(3)을 풀기 위해서, 도체표면을 2차원 문제의 경우 작은 직선 요소들로 나누고 각 요소 내에서 전하밀도함수를 근사화시킨다. 즉, i 번째 도체에서의 근사함수 $\bar{\sigma}_i$ 은

$$\bar{\sigma}_i(\underline{r}) = \sum_{k=1}^{N_t} \sigma_{ik} a_{ik}(x, z), \quad \underline{r} \in S_i \quad (4)$$

와 같이 표현될 수 있다. 여기서 σ_{ik} 와 a_{ik} 는 각각 i 번째 도체표면의 k 번째 정점에서의 전하밀도값과 보간함수를 나타낸다. 그리고 N_t 은 i 번째 도체 표면위의 정점수이다. 식(3)에 σ_i 대신 식(4)의 근사식 $\bar{\sigma}_i$ 을 대입하면 다음과 같은 오차(잔차) R 이 발생한다.

$$R = V_i(\underline{r}) - \sum_{i=1}^N \int_S \frac{\bar{\sigma}_i(\underline{r}')}{\epsilon} G(\underline{r}, \underline{r}') d\underline{s}_i, \quad \underline{r}, \underline{r}' \in S_i, \quad i = 1, 2, \dots, N \quad (5)$$

따라서 i 번째 도체의 $\bar{\sigma}_i$ 를 구하기 위해 식(5)에 그린함수를 구하여 대입한 후 Galerkin법을 적용시키면

$$\int_{S_i} a_{ik} R_i d\underline{s}_i = 0, \quad k = 1, 2, \dots, N_t \quad (6)$$

인 관계식을 얻는다. 그리고 식(6)을 모든 도체에 대해 적용시키면

$$[S][\sigma] = [F] \quad (7)$$

인 선형행렬방정식을 얻게 된다. 여기서,

$$[S] = [S_{ij}]_{N_t \times N_t} \\ [\sigma] = [\sigma_i]_{N_t \times 1} \\ [F] = [F_i]_{N_t \times 1} \\ N_t = \sum_{i=1}^N N_i, \quad \text{즉 전체 도체위의 정점수.}$$

최종적으로 식(7)을 풀면 모든 도체 표면에서 전하밀도를 구할 수 있고 구한 전하밀도를 식(2)에 대입하면 각 도체 표면을 포함한 두 평판 사이의 모든 위치에서 전위를 구할 수 있다.

4. 그린함수 유도

그린함수는 그림1과 같은 2차원 문제에서는 다음과 같은 편미분방정식의 해이다.

$$\left[\frac{\partial^2}{\partial x^2} + \frac{\partial^2}{\partial z^2} \right] G(\underline{r}, \underline{r}') = -\sigma(\underline{r} - \underline{r}'),$$

$$\underline{r} = (x, z), \underline{r}' = (x', z') \quad (8)$$

그리고 식(8)을 풀 때 $z=0$ 및 $z=d$ 에 접지된 무한 평판이 존재하므로

$$G(\underline{r}, \underline{r}') = 0, z=0, d \quad (9)$$

인 경계조건을 부여한다.

4.1 적분 표현식

프리에 변환을 이용하여 1차원 스펙트럼 그린함수에 대한 해를 구하면

$$G(\underline{r}, \underline{r}') = \frac{-1}{4\pi i} \int_{-\infty}^{\infty} \frac{1}{k} \frac{e^{ik(x-x')}}{1-e^{2ikd}} \left[e^{ik|z-z'|} - e^{ik|z+z'|} - e^{ik(2d-|z+z'|)} + e^{ik(2d+|z-z'|)} \right] dh \quad (10)$$

와 같이 된다. 여기서 $k=(-h^2)^{1/2}$ 로 정의되고, 실수일 경우는 양이 되고 복소수일 경우에는 허수부가 양이 된다. h 는 x 축 방향의 위상정수를 나타낸다. 식(10)의 피적분항은 풀(pole) 특이점을 갖게 되며, 그 특이점들은 $1-e^{2ikd}=0$ 으로 부터 다음과 같은 고유치들로써 표현된다[2].

$$h_m = \pm i \frac{\pi m}{d}, m=1, 2, \dots, \infty \quad (11)$$

4.2 모드 표현식

유수정리(Residue Theorem)을 이용하면 전원점 \underline{r}' 으로부터 멀어질수록 감쇠하는 모드들의 합으로써 그린함수를 표현할 수 있다. 즉,

$$G(\underline{r}, \underline{r}') = \sum_{m=1}^{\infty} G_m(\underline{r}, \underline{r}') \quad (12)$$

여기서,

$$G_m(\underline{r}, \underline{r}') = \frac{1}{\pi} \frac{1}{m} \sin\left(\frac{m\pi}{d} z\right) \sin\left(\frac{m\pi}{d} z'\right) \exp\left(-\frac{m\pi}{d} |x-x'|\right) \quad (13)$$

이다. 식(13)의 $G_m(\underline{r}, \underline{r}')$ 은 $|x-x'| \gg 0$ 에 대해서는 감쇠하는 지수의 영향으로 매우 빨리 수렴하지만, $|x-x'| \approx 0$ 일때 즉 전원과 관측점이 아주 가까우면 많은 항들을 더하게 되어 매우 천천히 수렴하게 된다. 또한 z 또는 z' 의 경계에 가까우면 수렴특성이 나빠진다. 이것은 모든 모드들의 값들이 작아져서 수렴을 위해서는 많은 항들이 필요하기 때문이다.

4.3 영상표현식

영상들로 표현된 그린함수를 얻기 위해서는 먼

저 식(10)의 피적분항의 분모를 기하급수로 전개한다. 즉,

$$(1-e^{2ikd})^{-1} = \sum_{n=0}^{\infty} e^{2inkd} \quad (14)$$

식(14)를 식(10)에 대입하면

$$G(\underline{r}, \underline{r}') = \sum_{n=0}^{\infty} G_n(\underline{r}, \underline{r}') \quad (15)$$

을 얻는다. 여기서,

$$G_n(\underline{r}, \underline{r}') = \frac{-1}{4\pi} \int_{-\infty}^{\infty} \frac{1}{k} e^{i(h(x-x')+2nkd)} \left[e^{ik|z-z'|} - e^{ik|z+z'|} - e^{ik(2d-(z+z'))} + e^{ik(2d+(z-z'))} \right] dh \quad (16)$$

이 다. 식(16)을 해석적으로 적분하면

$$G_n(\underline{r}, \underline{r}') = \frac{-1}{4\pi} \ln \left[\frac{(x-x')^2 + (2nd + |z-z'|)^2}{(x-x')^2 + (2nd + (z+z'))^2} \right] \frac{(x-x')^2 + (2(n+1)d - |z+z'|)^2}{(x-x')^2 + (2(n+1)d - (z+z'))^2} \quad (17)$$

와 같이 기존의 영상해를 얻게 된다. 식(17)을 사용하면 $|x-x'| \gg d$ 일때 그린함수의 수렴특성이 나쁘다. 따라서 수렴특성을 개선하기 위하여 식(15)에서 유한개의 항을 취하고 나머지는 적분표현식을 이용한다. 즉,

$$(1-e^{2ikd})^{-1} = \sum_{n=0}^{N_1-1} e^{2inkd} + (1-e^{2ikd})^{-1} e^{2iN_1kd} \quad (18)$$

을 이용하여, 식(15)의 영상항들을 나누면 식(15)는

$$G(\underline{r}, \underline{r}') = \frac{1}{4\pi} \ln \left[\frac{(x-x')^2 + (z+z')^2}{(x-x')^2 + (z-z')^2} \right] + \sum_{n=1}^{N_1-1} \bar{G}_n + R_n \quad (19)$$

로 바뀌어 진다. 여기서

$$\bar{G}_n = \frac{1}{4\pi} \ln \left[\frac{(x-x')^2 + (z+z'+2na)^2}{(x-x')^2 + (z-z'-2na)^2} \right] \frac{(x-x')^2 + (z+z'-2na)^2}{(x-x')^2 + (z-z'+2na)^2} \quad (20)$$

$$R_N = \sum_{n=N_1}^{\infty} \bar{G}_n \quad (21)$$

이다.

식(21)은 영상들의 집합일 뿐이다. 여기서 N_1 가 크면, 즉

$$N_1 \gg \max\left(\frac{|x-x'|}{2d}, 1\right) \quad (22)$$

의 개념을 도입하면, 식(21)은

$$R_N = \frac{1}{4\pi} \sum_{n=N_1}^{\infty} \frac{-2zz'}{n^2 d^2} + O\left(\frac{1}{n^4}\right) \quad (23)$$

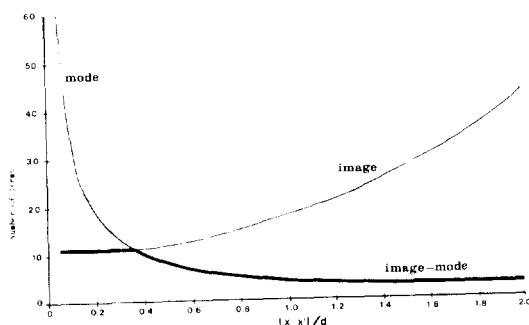


그림 2 전원과 관측점간의 거리에대한 그린함수 표현식들의 항의수

Fig. 2 Number of terms in the Green function representations versus $|x-x'|/d$

로 표현할 수 있으며, 무한급수 값은 $\sum_{n=1}^{\infty} \frac{1}{n^2} = \frac{\pi^2}{6}$ 을 이용하면 계산되어질 수 있다.

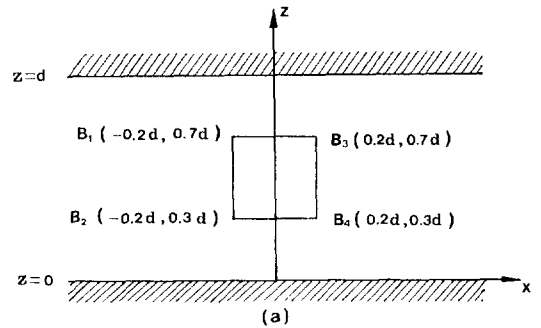
4.4 영상-모드의 혼합법

전원과 관측점간의 거리의 변화에 따라 영상표현식 또는 모드표현식만으로써 그린함수를 수치해석상 효율적으로 표현할 수 없는 경우는, 적절한 기준을 두고 두 표현식을 혼합하여 사용하면 매우 효율적이다. 즉, 어떤 기준값 a 를 정하여 $|x-x'| > a$ 인 경우는 모드표현식을 사용하고, $|x-x'| < a$ 인 경우는 영상표현식을 사용한다. 그림2는 전원과 관측점과의 거리에 대한 영상표현식 및 모드표현식의 수렴에 필요한 항들의 수를 나타내고 있다. 그림에서 알 수 있듯이 $|x-x'|$ 의 어떤 값을 중심으로 수렴속도가 빠른 그린함수의 표현식이 선택될 수 있다.

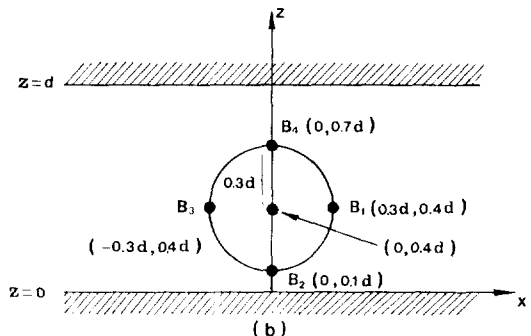
5. 사례연구

그림3에서와 같이 절지된 평행 도체판 내에 단면이 임의의 크기의 원형 및 사각형인 도체가 존재하는 경우를 각각 예제로 고려하였다. 먼저 본 논문에서 제시한 그린함수를 구하는 알고리즘 및 프로그램의 타당성을 확인하기 위하여, 평행판 내에 도체가 존재하지 않을 때의 그린함수 값을 모드표현식과 영상표현식으로써 각각 구하여 그림4에서와 같이 비교하여 보았다. 두 결과가 잘 일치하고 있음을 알 수 있다.

그림4에서는 전원과 관측점간의 거리를 변화시켰을 때 영상 및 모드항들에 의한 그린함수표현식이 수렴하는데 필요한 항의 수를 나타낸 것이다.



(a)



(b)

그림 3 해석모델

Fig. 3 Models for numerical analysis

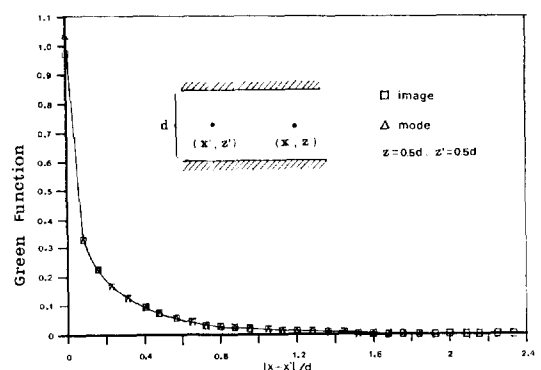


그림 4 전원과 관측점간의 거리에 의한 그린함수 값

Fig. 4 Values of Green function versus $|x-x'|/d$

그림에서 알 수 있듯이 전원과 관측점 간의 거리가 가까울 때는 모드표현식을 사용하고 멀때는 영상법을 사용하는 영상-모드 혼합 적용이 매우 효율적이다. 그림5는 그림3(a)와 (b)의 내부 도체 표면에서의 전하분포를 위치에 대해 그린 것이다. 이때 도체의 전위는 1(V)로 주었다. 그리고 평행

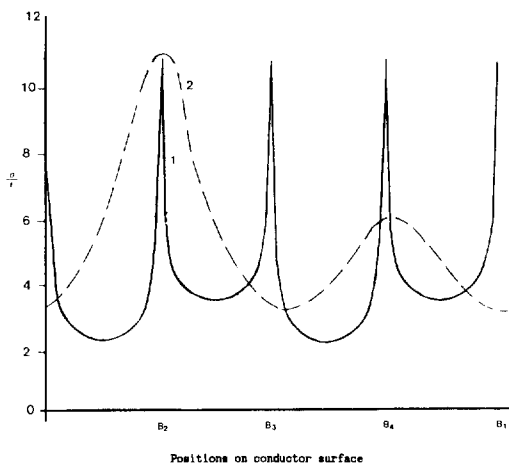


그림 5 도체 표면 위의 전하 밀도 (— : 사각 도체, … : 원형 도체)

Fig. 5 Surface charge density on the conductors (— : Rectangular conductance, … : Circular conductance)

도체판은 접지된 것이다.

곡선 1과 2는 그림 3(a)와 (b)에 각각 해당된다. 단면이 원형인 경우 접지된 도체 부근에서 즉, 점 B₂와 B₄에서 전하밀도가 높게 나타나고 점 B₃와 B₁ 부근에서 낮게 나타난다. 특히 접지된 도체에 가장 가까운 점 B₂에서 최대값이 나타나는 것을 알 수 있다. 단면이 사각형인 경우 꼭지점 부근 즉, 점 B₁, B₂, B₃와 B₄에 전하가 집중되는 것도 볼 수 있다. 이 결과는 물리적으로 타당성이 있음을 입증하는 것이다.

6. 결 론

본 논문에서는 차폐된 전송선 구조를 수치적으로 해석할 수 있는 알고리즘을 제시했다. 접지된 평행판 도체내의 그린함수는 영상-모드의 혼합법을 적용시킴으로써 효율적으로 구해지고, 각 도체 간의 유도현상은 Galerkin법을 사용하여 적분방정식을 풀어서 해석하였다. 그리고 제시된 알고리즘을 간단한 해석모델들에 적용시켜서 물리적으로 타당성이 있는 결과들을 얻었다.

제시된 알고리즘의 유용성만을 확인하기 위해 본 논문에서는 접지된 평행판 내에 한 개의 도체가 존재하는 간단한 모델을 택하였지만, 본 알고리즘은 앞으로 보다 복잡한 문제로서 다중 도체가

존재하는 다중구조의 해석에도 확장 시킬 수 있으며 실제문제로서 MMIC소자 구조를 모델링하여 해석하는 데에도 응용될 수 있을 것이다.

이 논문은 아산사회복지사업재단의 1989년도 연구비 지원에 의하여 이루어 졌음.

참 고 문 헌

- [1] W.T. Weeks, "Calculation of coefficients of capacitance of multiconductor transmission lines in the presence of a dielectric interface," IEEE Trans. Microwave Theory Tech., Vol. MTT-18, pp. 35~43, Jan. 1970.
- [2] A. Farrar and A.T. Adams, "Multi-layer microstrip transmission line," IEEE Trans. Microwave Theory tech., Vol. MTT-22, pp. 889~891, Oct. 1974.
- [3] R. Mansour and R. Macphie, "A unified hybrid-mode analysis for planar transmission lines with multi-layer isotropic/anisotropic substrates," IEEE Trans. Microwave Theory Tech., Vol. MTT-35, pp. 1382~1391, Dec. 1987.
- [4] L.B. Felsen and A.H. Kamel, "Hybrid ray-mode formulation of parallel plane waveguide Green's functions," IEEE Trans. Antennas propagation, Vol. AP-29, pp. 637~649, July 1981.
- [5] I-Tai Lu and H.K. Jung, "A hybrid(boundary elements)-(finite elements)-ray-mode method for wave scattering by inhomogeneous scatterers in a waveguide," J Acoust. Soc. Am. Vol. 87, No. 3, pp. 988~996, March. 1990.
- [6] Hyun-Kyo Jung, I-Tai Lu and Song-Yop Hahn, "A hybrid ray-mode-(boundary integral equation) method for acoustic wave scattering by multiple scatterers in a waveguide," Journal of KIEE, Vol. 3, No. 1, pp. 49~55, 1990.
- [7] P.P. Silvester and R.L. Ferrari, Finite Elements for Electrical Engineers, Cambridge University Press, 1983. pp. 98~106.